

Synthesis and Luminescent Properties of Indium-Substituted YAG: Ce

Jin-sheng Cen, Wei Zhang, Wei-ren Zhao, Li Luo, Xia Sheng, Ju-lan Lai

(School of Physics & Optoelectric Engineering, Guangdong University of Technology, Guangzhou 510006, China)

Abstract: Cerium-doped yttrium aluminum indium garnet $(Y_3Al_{4.5}In_{0.5}O_{12}: Ce^{3+})$ yellow phosphors were prepared by co-precipitation method with metal nitrates as starting materials and $NH_3 \cdot H_2O$ as the precipitating agent. The performances of samples were analyzed systematically by changing the concentration of Ce^{3+} and sintering time. The results showed that the co-precipitation method is able to reduce the synthesis temperature effectively, and cerium-doped can contribute to Indium instead of aluminum. Completely crystallized phosphors can be obtained by the proper preparation of YAIG phosphors.

Keywords: co-precipitation method; yttrium aluminum garnet; luminescent materials

铟取代 YAG: Ce 的合成和发光性能研究

岑锦升, 张伟, 赵韦人, 罗莉, 盛霞, 赖菊兰

(广东工业大学物理与光电工程学院,广州 510006)

摘 要: 以金属硝酸盐为原料,使用 NH₃ • H₂0 为沉淀剂,采用化学共沉淀法和两步烧结法合成掺铈的 钇铝铟石榴石 (Y₃A1_{4.5}In_{0.5}O₁₂: Ce³⁺) 黄色荧光粉,分析了通过改变掺铈浓度和烧结时间对样品性能的 影响。采用 XRD 研究共沉淀法制备的钇铝石榴石粉末晶相形成过程,并采用荧光光谱研究荧光粉光致 发光,结果表明采用化学共沉淀法能有效地降低样品的合成温度、铈的掺入有助于铟取代铝,该方法可用于制备 YAIG 荧光粉。

关键词: 共沉淀法; 钇铝石榴石; 发光材料

1 引言

钇铝石榴石Y₃A1₅O₁₂ (简称YAG) 具有优良的导热性和机械强度以及良好的物理化学性质,被广泛的用作激光和发光的基质材料。稀土元素的引入可使荧光粉的发光性能有明显的改善,Ce³⁺激活的YAG用作超短余辉飞点扫描荧光粉在20世纪70年代就已成功研制出来,YAG:Ce 被激发发出的黄光与InGaN 蓝光二极管发出的蓝光混合可形成白光,因此YAG:Ce 荧光材料成为制造白光LED 的优良材料[1-4]。

在固态照明应用中三价铟原子取代YAG中的铝原子后造成发射峰发生蓝移[5],从而改变荧光粉的发光特性。本文采用化学共沉淀法和两步烧结法[6]合成掺铈的钇铝铟石榴石(Y₃A1_{4.5}In_{0.5}O₁₂: Ce³⁺)黄色荧光粉

*基金项目: 国家自然科学基金资助项目(编号: 60576018),广东省 自然科学基金资助项目(编号: 07300540) 并对制备工艺和荧光粉特性进行了初步分析讨论。

2 实验

2.1 荧光粉的制备

以乙二醇甲醚为溶剂,按 $Y_{3-x}A1_{4.5}In_{0.5}O_{12}$: Ce_x (x 分别取 0.05, 0.10, 0.15, 0.20) 化学计量比分别称取 $Y(NO_3)_3 \cdot 6H_2O$, $A1(NO_3)_3 \cdot 9H_2O$, $In(NO_3)_3 \cdot 4.5H_2O$, $Ce(NO_3)_3 \cdot 6H_2O$, 配成澄清的溶液。随后在搅拌的状态下缓慢地滴入适量的氨水,得到了白色的沉淀物,滴加过程结束后继续搅拌反应 3h, 将反应物在 110 C烘干,研磨后装入坩埚放入高温炉中,在 1000 C下烧结数小时,冷却后得到黄色产物。

2. 2 样品测试

样品的表征采用了北京普析通用有限公司XD-2型X射线粉末衍射仪(CuK_a, 36KV, 20mA)对产物进行



物相结构分析,扫描范围10°~70°;用日本日立(HITACHI)仪器公司的Hitachi F-7000型荧光光谱分析仪测试样品的激发光谱和发射光谱。

3 结果与分析

图 1 为在烧结温度为 1000° C、烧结时间为 2h 下不同 Ce^{3+} 浓度的 $Y_{3-x}A1_{4.5}In_{0.5}O_{12}$: Ce_x 的 XRD 图谱,与标准的 (JCPDS : 33-0040) 卡片对比后,掺入适量的 Ce 没有改变基质材料的结构,从图 1 中可以看出,峰形尖锐,晶 化程度 较 好,没有产生 $YAP(YA1O_3)$ 和 $YAM(Y_4A1_2O_3)$ 等过渡相,但是当 Ce^{3+} 的浓度达到 20%时,出现了明显 CeO_2 的特征峰,这说明 Ce^{3+} 的掺入达到了饱和,多余的 Ce^{3+} 氧化成 CeO_2 而存在于晶体当中。另外,从图中可以看出未掺 Ce^{3+} 的情况下有 In_2O_3 衍射峰,说明了 In^{3+} 单独不易取代 YAG 中的 A1,但随着 Ce^{3+} 的掺入后, In_2O_3 逐渐消失说明了掺入 Ce^{3+} 有助于 In 取代 A1。

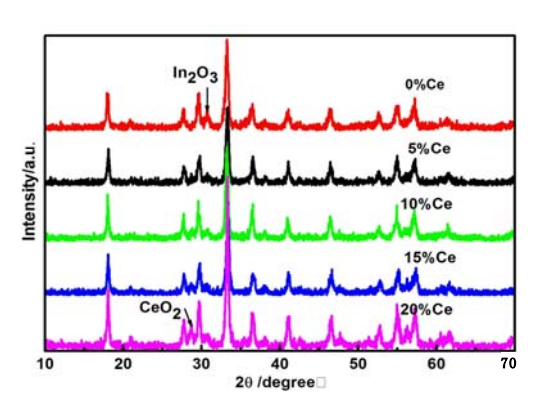


Fig. 1. XRD patterns of Y_{3-x}Al_{4.5}In_{0.5}O₁₂: Ce_x 图 1 不同 Ce 掺入量 YAIG: Ce³⁺ 的 XRD 图谱

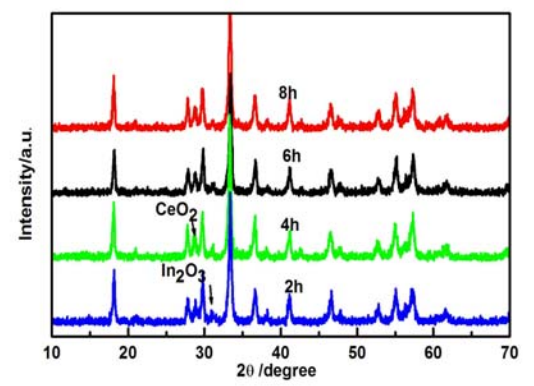


Fig. 2 XRD patterns of YAIG: Ce³⁺ synthesized at different calcined time 图 2 YAIG: Ce³⁺在不同烧结时间下产物的 XRD 图谱

结不同时间的 X 射线衍射图。结果表明,当烧结时间从 2 h增加到 8 h时,峰型变尖锐,半峰宽变小,微晶尺寸增大,晶相排列趋于有序化,其结晶程度增大 [6]。但随着时间增加,CeO₂ 峰值也在增大,因此在未采用还原气氛时,烧结时间不宜过长。

图 2 给出了 YAIG: Ce³⁺前驱体粉末在 1000℃下烧

采用日本日立荧光光谱仪通过改变激发波长,监测525nm发射光的强度,测量不同Ce³⁻掺入量的YAIG:Ce激发光谱,如图3所示。其中峰值位于420 nm至480 nm激发宽带,主峰位于470nm附近,表明该荧光粉可以被蓝光二极管有效激发。从整体上来看,荧光粉激发光谱的峰值和峰形不随Ce³⁻掺杂量的改变而变化[7]。

图4、5的发射光谱用470 nm蓝光做激发光源而得,从图中可以看出,YAIG荧光粉的发射光谱有了Ce³⁺的特征发射峰位于530nm附近,属于Ce³⁺的5d→4f特征跃迁发射。图4中荧光粉的发射光谱的峰值和峰形不随掺Ce³⁺量的改变而变化,但相对强度随Ce³⁺掺入量的增加而增强,在Ce³⁺掺杂的摩尔分数为15%时,发光强度达到最大,当Ce³⁺掺杂的摩尔分数增加到20%时,由于"浓度淬灭"原因发光强度出现减弱趋势[8]。

从图5可以看出,烧结时间对荧光粉的发光强度影响很大,从图中可以看出不同烧结时间的YAIG: Ce³⁺ 荧光粉的发射光谱与激发光谱的变化趋势基本相同,峰值波长和峰形不随烧结时间的改变而变化,但相对强度都随烧结时间的增加而增强。

图4、5中YAIG: Ce荧光粉的发射光谱的最强发射峰位于530nm附近,而YAG: Ce荧光粉的最强发射

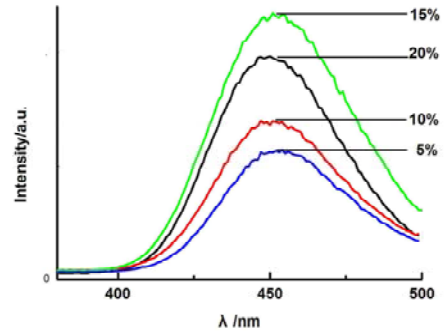


Fig. 3 Excitation spectra of Y_{3-x}Al_{4.5}In_{0.5}O₁₂: Ce_x 图3 不同Ce掺入量YAIG: Ce^{3*} 的激发光谱



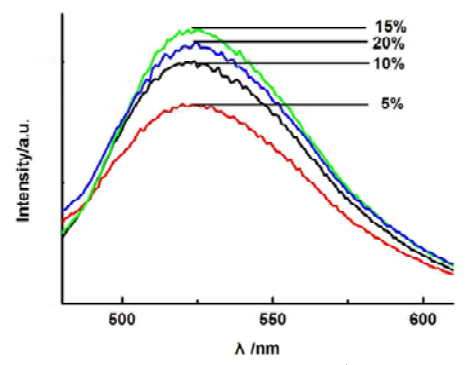


Fig. 4 Emission spectra of Y_{3-x}Al_{4.5}In_{0.5}O₁₂: Ce_x 图4 不同Ce掺入量YAIG: Ce^{3*}的发射光谱

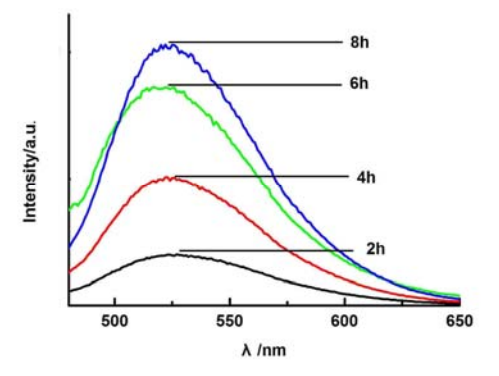


Fig. 5 Emission spectra of YAIG:Ce particles in different sintering time
图 5 不同烧结时间下 YAIG:Ce 的发射光谱

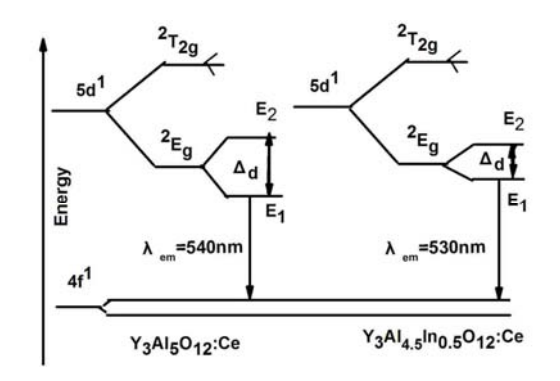


Fig. 6 Energy level diagram for YAG:Ce and YAIG:Ce (not drawn to scale) scale)

图 6 YAG:Ce 和 YAIG:Ce 能级图 (未按比例画)

峰位于 540nm 附近[9], 都属于 Ce^{3} 的 $5d\rightarrow 4f$ 特征跃 迁发射。当 In^{3+} 取代 Al^{3+} 后, In^{3+} 原子半径大于 Al^{3+} 的半径所以 In-O、Al-O 键发生调整。最终,在 YAG 晶格中铝被铟的取代导致了 Ce^{3+} 周围的氧原子发生移动,使结构发生变化。由于结构的变化会直接影响

Ce³⁺的 5 d 轨道和光致发光特性。正由于铟取代了铝 引起结构变化从而改变了光致发光光谱。图 6 给出了 在 YAG 和 YAIG 中 5d 轨道的相对位置。在光致发光 过程中,电子从能态 E₁ 激发到 5d 轨道的能态 E₂,E₁、E₂两个分裂能态之间的跃迁能量差由 Ce³⁺原子周围的 晶体场而定。在无 In 取代的 YAG 晶体,围绕 Ce³⁺的 氧原子高度压缩形成一个畸变立方结构,两种 E₁、E₂ 状态的分裂由于氧原子在立方结构中的畸变而增加。但由于铟取代 YAG 中的铝,Ce³⁺ 周围的氧发生解压而形成立方结构,从而使得两种状态的分裂由于铟的取代而减小,因此,Al 被 In 取代后,样品的光谱中降低了发射波长和提高了吸收波长,所以发射光谱会产生蓝移现象,这与文献结果相符[10]。

4 结论

采用化学共沉淀法和两步煅烧法,使用 NH₃•H₂0 为沉淀剂,与硝酸盐的混合溶液反应合成了掺铈的钇铝铟石榴石 Y₃Al_{4.5}In_{0.5}O₁₂: Ce³⁺黄色荧光粉,并实验分析了改变掺 Ce³⁺的浓度和烧结时间对样品结构和激发、发射光谱的影响。结果表明,与传统的高温固相法相比,化学共沉淀法能有效地降低样品的合成温度,光致发光表明所制荧光粉粉体的发光性能良好。

References (参考文献)

- [1] Yang Z P, Li X, Yang Y, et al. [J]. Journal of Luminescence, 2007, 122-123: 707-709.
- [2] Haitao HAO, Hefeng ZHOU, Jian LIANG, etc. [J]. Spectroscopy and Spectral Analysis, 2007, 27 (12): 240-243.
- [3] A. P. Patel, M. R. Levy, R. W. Grimes, et al. [J]. Applied Physics Letters, 2008, 93: 191902
- [4] Meng J X, Li J Q, Shi Z P, et al.[J]. Applied Physics Letters, 2008, 93:221908.
- [5] S. W. Allison, J. R. Buczyna, R. A. Hansel, et al. [J]. Journal of Applied Physics, 2009, 105, 036105.
- [6] Xueming LI, Chuanyi TAO, Lingfeng Kong, etc. [J]. JOURNAL OF NORGANIC CHEM ISTRY, 2007, 23(8): 1409-1414.
- [7] Zhiqiang LI,Qi ZHAO,Yunfei ZHUANG,etc. [J]. Journal of Hebei University(Natural Science Edition),2009,29(2):133-136
- [8] R. Kasuya, A. Kawano, T. Isobe, et al. [J]. Applied Physics Letters, 2007, 91: 111916.
- [9] Yin H B, Deng P Z, Gan F X. [J]. Journal of Applied Physics, 1998, 83(7):3825-3828
- [10] R. Hansel, S. Allison, G. Walker. [J]. Journal of Materials Science, 2010, 45:146-150.